

- 1) Seguendo la via diretta e senza l'impiego delle matrici elementari di rotazione, si ricavi la matrice di rotazione generale associata alla rappresentazione asse/angolo.
- 2) Si enuncino e discutano accuratamente tutti passi della procedura di applicazione della convenzione di Denavit-Hartenberg alla parametrizzazione di una struttura cinematica seriale. La si applichi alla parametrizzazione del manipolatore *DLR Lightweight III* riportato in Fig. 1. Scelta una configurazione di riferimento, si calcolino in essa la postura dell'end-effector 0A_e ed il Jacobiano ${}^0J_{O_e}$. Si discuta come può essere determinata la versione del Jacobiano ${}^eJ_{O_e}$ e cosa rappresenta. Come si modifica il Jacobiano se il link di base (0) viene montato su una piattaforma mobile che può traslare e ruotare liberamente sul piano del pavimento?

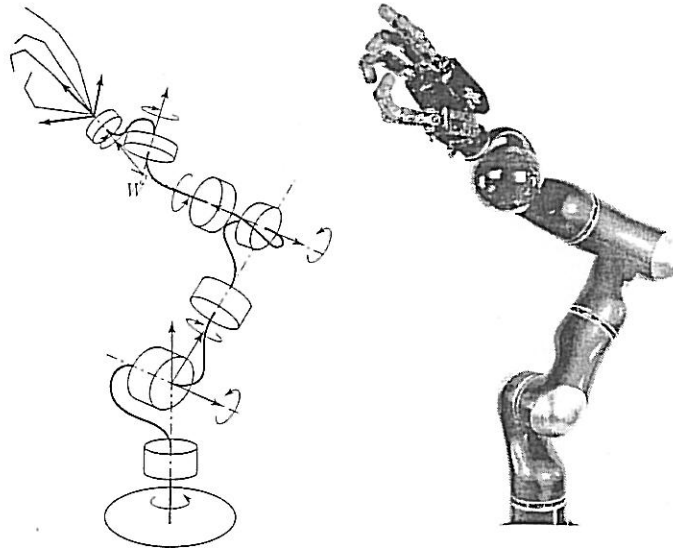


Figura 1: DLR Lightweight III e suo schema cinematico.

- 3) La Fig. 2 mostra un braccio seriale RRR che afferra un disco di raggio a con metodologia *whole-arm*, ossia sia ha contatto sui link prossimale e mediale oltre che su quello distale. La configurazione del robot è descritta da $\mathbf{q} = [q_1 \ q_2 \ q_3]^T$, mentre le coppie ai giunti sono $\boldsymbol{\tau} = [\tau_1 \ \tau_2 \ \tau_3]$. I vincoli in corrispondenza dei contatti sono tutti di tipo Point Contact With Friction (PCWF) e tutti i giunti sono sia attuati che sensorizzati. Nella configurazione di figura (e solo in essa!) si ricavano: l'opportuna matrice Jacobiana \mathbf{J} da impiegarsi nell'analisi; la matrice di Grasp \mathbf{G} ; la matrice dei vincoli \mathbf{H} ; la forma Pfaffiana delle equazioni globali di vincolo. Si discutano, corredandole con soluzioni numeriche, le seguenti proprietà del sistema: ridondanza, difettività, esistenza di moti labili dell'oggetto, esistenza di forze interne, iperstaticità. (Suggerimenti: (i) si noti che l'introduzione di contatti multipli su uno stesso braccio rende, di fatto, parallela la struttura del meccanismo e quindi analizzabile con le tecniche studiate; (ii) ci si limiti alla sola forma 2D delle equazioni).

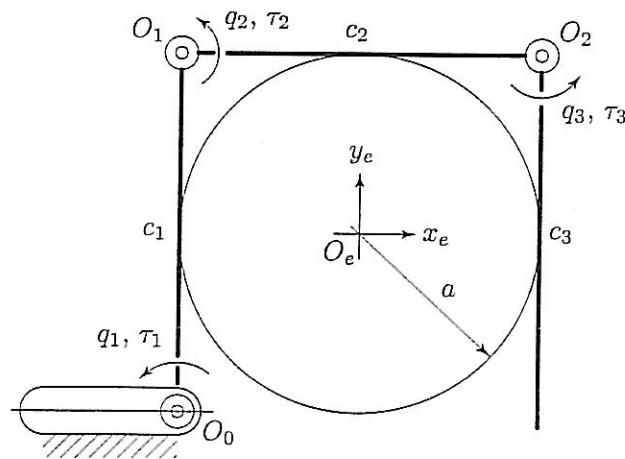


Figura 2: Afferraggio *whole-arm* di un disco con manipolatore RRR.

- 1) Soluzione diretta con esponenziale di matrici, slide 02.pdf, p.33
 " " con costruzione geometrica, slide 02.pdf, p.36

2)

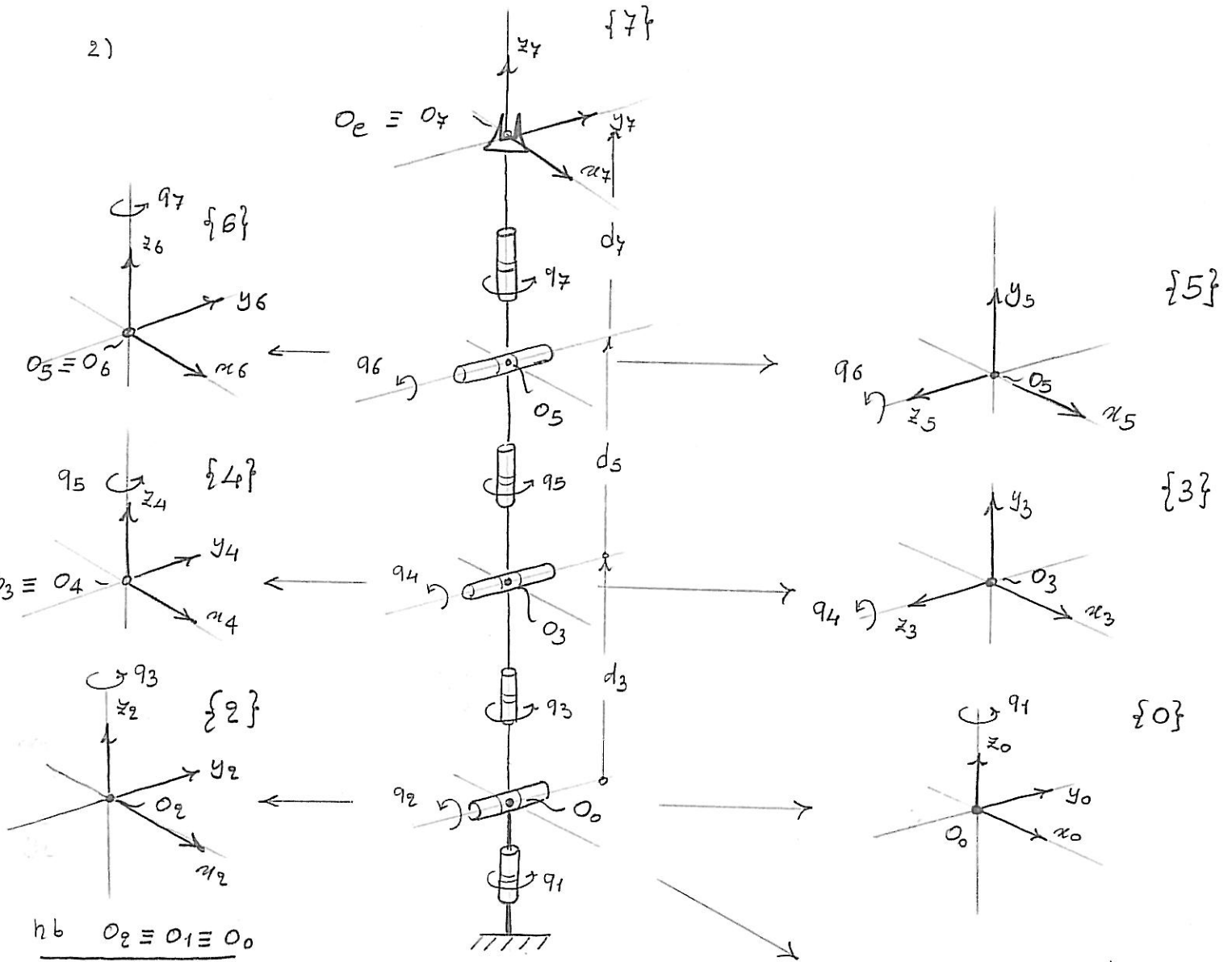
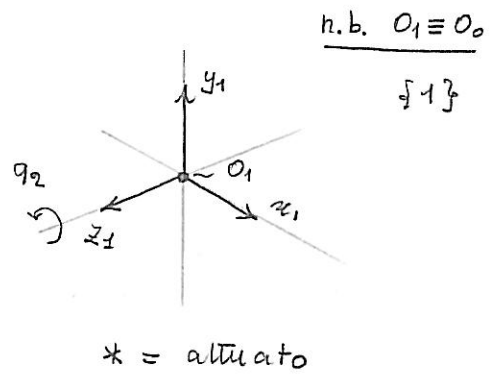


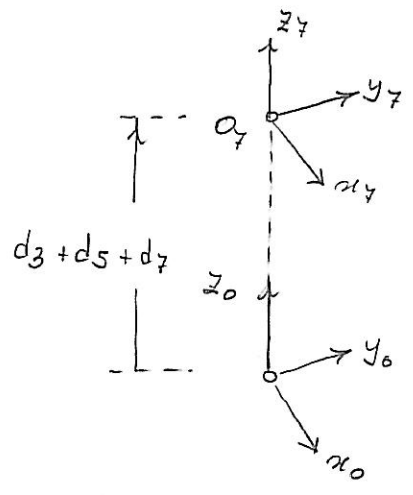
tabella DH per DLR Lightweight III

link	a_i	d_i	d_i	q_i	
{0} → {1}	1	0	$\pi/2$	0	q_1^*
{1} → {2}	2	0	$-\pi/2$	0	q_2^*
{2} → {3}	3	0	$\pi/2$	d_3	q_3^*
{3} → {4}	4	0	$-\pi/2$	0	q_4^*
{4} → {5}	5	0	$\pi/2$	d_5	q_5^*
{5} → {6}	6	0	$-\pi/2$	0	q_6^*
{6} → {7}	7	0	0	d_7	q_7^*



Applicando la forma generica della matrice omogenea di D-H. a ciascuna riga della tabella si hanno le varie A_i che assembleate forniscono ${}^0A_7(q) = {}^0A_1(q_1) \dots {}^6A_7(q_7)$

Dato che si chiede la 0A_7 in una config. a piacere, si sceglie quella di rif in figura. Esempio $\{0\}$ e $\{7\}$ così:



Si ha banalmente e senza dover fare prodotti matriciali

$${}^0A_7(0) = \begin{bmatrix} 1 & 0 & 0 & | & 0 \\ 0 & 1 & 0 & | & 0 \\ 0 & 0 & 1 & | & d_3+d_5+d_7 \\ 0 & 0 & 0 & | & 1 \end{bmatrix}$$

Calcolo del Jacobiano ${}^0y_{0e}$ ($0_7 \equiv 0_e$)

$${}^0y_{0e} = \begin{bmatrix} \dot{z}_0 (0_e - 0_0) & \dot{z}_1 (0_e - 0_0) & \dot{z}_2 (0_e - 0_0) & \dot{z}_3 (0_e - 0_3) & \dot{z}_4 (0_e - 0_3) & \dots \\ z_0 & z_1 & z_2 & z_3 & z_4 & \dots \\ \dots & \dot{z}_5 (0_e - 0_5) & \dot{z}_6 (0_e - 0_5) & \dot{z}_7 (0_e - 0_7) & \dots & \dots \\ z_5 & z_6 & z_7 & \dots & \dots & \dots \end{bmatrix}$$

facciamo gli opportuni calcoli al volo (guardando fig. pag 1)

$${}^0y_{0e} = \begin{bmatrix} \begin{pmatrix} 0 \\ 0 \\ 0 \end{pmatrix} - \begin{pmatrix} d_3+d_5+d_7 \\ 0 \\ 0 \end{pmatrix} & \begin{pmatrix} 0 \\ 0 \\ 0 \end{pmatrix} - \begin{pmatrix} d_5+d_7 \\ 0 \\ 0 \end{pmatrix} & \begin{pmatrix} 0 \\ 0 \\ 0 \end{pmatrix} & \begin{pmatrix} -d_7 \\ 0 \\ 0 \end{pmatrix} & \begin{pmatrix} 0 \\ 0 \\ 0 \end{pmatrix} \\ \begin{pmatrix} 0 \\ 0 \\ 1 \end{pmatrix} & \begin{pmatrix} 0 \\ -1 \\ 0 \end{pmatrix} & \begin{pmatrix} 0 \\ 0 \\ 1 \end{pmatrix} & \begin{pmatrix} 0 \\ -1 \\ 0 \end{pmatrix} & \begin{pmatrix} 0 \\ 0 \\ 1 \end{pmatrix} & \begin{pmatrix} 0 \\ -1 \\ 0 \end{pmatrix} & \begin{pmatrix} 0 \\ 0 \\ 1 \end{pmatrix} \end{bmatrix}$$

${}^e y_{0e}$ è il Jacob. scritto in componenti $\{E\} \equiv \{7\}$ in questo caso con ancora polo $0_e \equiv 0_7$ per la velocità lineare.

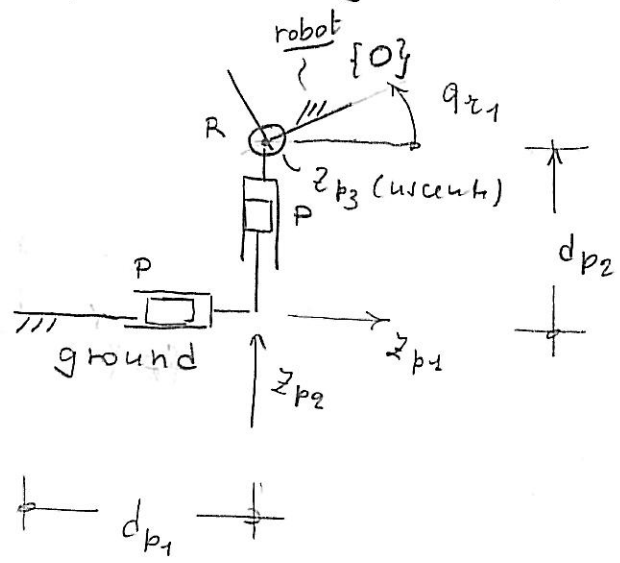
In base a slide 05.pdf si ha

$${}^e y_{oe} = \begin{bmatrix} {}^e R_o & O_{3 \times 3} \\ O_{3 \times 3} & {}^e R_o \end{bmatrix} {}^o y_{oe}$$

In questo caso, nella config. scelta, ${}^e R_o = {}^7 R_o = I_{3 \times 3}$.

Quindi per $\underline{q} = \underline{0} \in \mathbb{R}^7$, ${}^e y_{oe} \equiv {}^o y_{oe}$.

Se $\{0\}$ è in movimento su piattaforma si può pensare che vi sia a monte una catena cinematica virtuale che fornisce 3 gdl in più così:



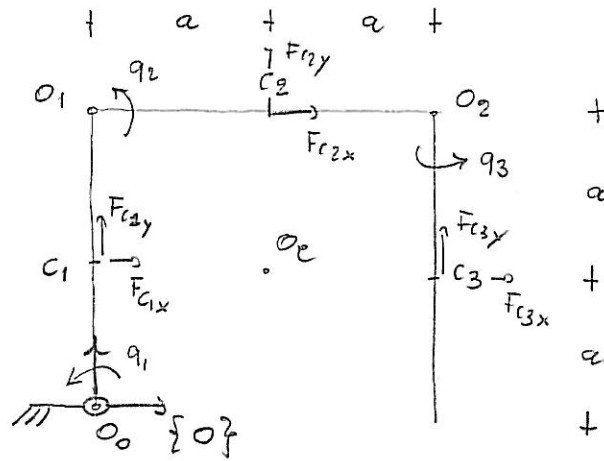
pono con DH parametrizzate queste catena cin virtuale ed aggiungete a monte delle mia vecchia tabella le 3 righe corrisp ai 3 gdl in più.

In tal modo il nuovo jacobiano risentirà anche del moto della piattaforma, etc...

3)

Parallelo whole-limb

4.



Dato che mi interessano solo le componenti di forza nel contatto a causa del vincolo PCWF allora calcolo solo i Jacobiani di posizione per i punti di contatto. Inoltre resto coerente le dims dei Jacobiani aggiungendo # colonne opportuno (compon. sempre in $\{O0\}$)

$$v_{c1} = \begin{bmatrix} -a \\ 0 \end{bmatrix} \dot{q}_1 \rightarrow J_{c1} = \begin{bmatrix} -a & 0 & 0 \\ 0 & 0 & 0 \end{bmatrix}$$

$$v_{c2} = \begin{bmatrix} -2a \\ a \end{bmatrix} \dot{q}_1 + \begin{bmatrix} 0 \\ a \end{bmatrix} \dot{q}_2 \rightarrow J_{c2} = \begin{bmatrix} -2a & 0 & 0 \\ a & a & 0 \end{bmatrix}$$

$$v_{c3} = \begin{bmatrix} -a \\ 2a \end{bmatrix} \dot{q}_1 + \begin{bmatrix} a \\ 2a \end{bmatrix} \dot{q}_2 + \begin{bmatrix} a \\ 0 \end{bmatrix} \dot{q}_3 \rightarrow J_{c3} = \begin{bmatrix} -a & a & a \\ 2a & 2a & 0 \end{bmatrix}$$

Dunque se agisce forza F_{c1} di compon. F_{c1x} ed F_{c1y} la coppia causata sui giunti vale

$$\tau^{(1)} = \begin{bmatrix} \tau_1^{(1)} \\ \tau_2^{(1)} \\ \tau_3^{(1)} \end{bmatrix} = \begin{bmatrix} -a & 0 \\ 0 & 0 \\ 0 & 0 \end{bmatrix} \begin{bmatrix} F_{c1x} \\ F_{c1y} \end{bmatrix} = \begin{bmatrix} -F_{c1x} a \\ 0 \\ 0 \end{bmatrix}$$

si noti l'effetto di filtro delle 2^a e 3^a colonne di J_{c1}

anche su effetto di F_{c2}

$$\tau^{(2)} = \begin{bmatrix} \tau_1^{(2)} \\ \tau_2^{(2)} \\ \tau_3^{(2)} \end{bmatrix} = \begin{bmatrix} -2a & a \\ 0 & a \\ 0 & 0 \end{bmatrix} \begin{bmatrix} F_{c2x} \\ F_{c2y} \end{bmatrix} = \begin{bmatrix} -F_{c2x} 2a + F_{c2y} a \\ F_{c2y} a \\ 0 \end{bmatrix}$$

Allora quando le F_{c_i} ($i=1,2,3$) agiscono di concerto

1) e l'effetto che hanno è pari alla somma degli effetti che ciascuna ha agendo singolarmente dunque

$$e = e^{(1)} + e^{(2)} + e^{(3)} = J_{c_1}^T F_{c_1} + J_{c_2}^T F_{c_2} + J_{c_3}^T F_{c_3}$$

da cui

$$e = \begin{bmatrix} J_{c_1}^T & J_{c_2}^T & J_{c_3}^T \end{bmatrix} \begin{bmatrix} F_{c_1} \\ F_{c_2} \\ F_{c_3} \end{bmatrix} =: J_c^T F$$

wrench esercitabile in tutti i punti

allora

$$J_c^T = \begin{bmatrix} -a & 0 & -2a & a & -a & 2a \\ 0 & 0 & 0 & a & a & 2a \\ 0 & 0 & 0 & 0 & a & 0 \end{bmatrix}$$

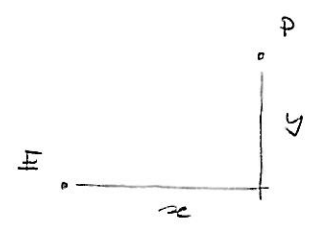
hb. che J_c ha l'effetto di mappare le \dot{q} in tutte le direzioni di velocità nei vari c_i in cui può essere esercitata forza

$$\begin{bmatrix} v_{c_1} \\ v_{c_2} \\ v_{c_3} \end{bmatrix} = \begin{bmatrix} J_{c_1} \\ J_{c_2} \\ J_{c_3} \end{bmatrix} \dot{q}$$

Per quanto riguarda la matrice di Grasp

ci si ricorda che nel 2D

$$W_E = \begin{bmatrix} F_{Ex} \\ F_{Ey} \\ m_{Ez} \end{bmatrix} = \begin{bmatrix} I_{2 \times 2} & 0 \\ -y & x & 1 \end{bmatrix} \begin{bmatrix} F_{px} \\ F_{py} \\ m_{pz} \end{bmatrix}$$



esempio i contatti tutti PCWF $H_i = \begin{bmatrix} 1 & 0 & 0 \\ 0 & 1 & 0 \end{bmatrix}$

$$H_i^T = \begin{bmatrix} 1 & 0 \\ 0 & 1 \\ 0 & 0 \end{bmatrix}$$

Allora la generica $G_{c_i} := G_i H_i^T = \begin{bmatrix} I_{2 \times 2} & \underline{0} \\ -y & z & 1 \end{bmatrix} \begin{bmatrix} I_{2 \times 2} \\ \underline{0}^T \end{bmatrix}$ ⁶

ovvero (la G_i che tiene conto già del tipo di controllo)

$$G_{c_i} = \begin{bmatrix} I_{2 \times 2} + \underline{0} \underline{0}^T \\ -y & z \end{bmatrix} = \begin{bmatrix} 1 & 0 \\ 0 & 1 \\ -y & z \end{bmatrix}$$

allora

$$G_c \stackrel{\Delta}{=} \begin{bmatrix} G_{c1} & G_{c2} & G_{c3} \end{bmatrix}$$

$$G_{c1} = \begin{bmatrix} 1 & 0 \\ 0 & 1 \\ 0 & -a \end{bmatrix} \quad G_{c2} = \begin{bmatrix} 1 & 0 \\ 0 & 1 \\ -a & 0 \end{bmatrix} \quad G_{c3} = \begin{bmatrix} 1 & 0 \\ 0 & 1 \\ 0 & a \end{bmatrix}$$

ovvia

$$G_c = \begin{bmatrix} 1 & 0 & 1 & 0 & 1 & 0 \\ 0 & 1 & 0 & 1 & 0 & 1 \\ 0 & -a & -a & 0 & 0 & a \end{bmatrix}$$

forme Pfaffiana

$$\begin{bmatrix} Y_{c1} & | & -G_{c1}^T \\ Y_{c2} & | & -G_{c2}^T \\ Y_{c3} & | & -G_{c3}^T \end{bmatrix} \begin{bmatrix} \dot{q} \\ \vdots \\ \dot{g}_e \end{bmatrix} = \underline{0} \quad \begin{bmatrix} \underline{u} \\ \vdots \\ \underline{w}_E \end{bmatrix} = \begin{bmatrix} Y_c^T \\ -G_c \end{bmatrix} F_c$$

Analisi delle proprietà

1) Ridondanza: $\text{rank}(Y_c) = 3$ dunque

$$\dim(R(Y_c)) = \dim(R(Y_c^T)) = 3$$

da cui $\dim(N(Y_c)) = 0$ NO MOTI RIDOND.

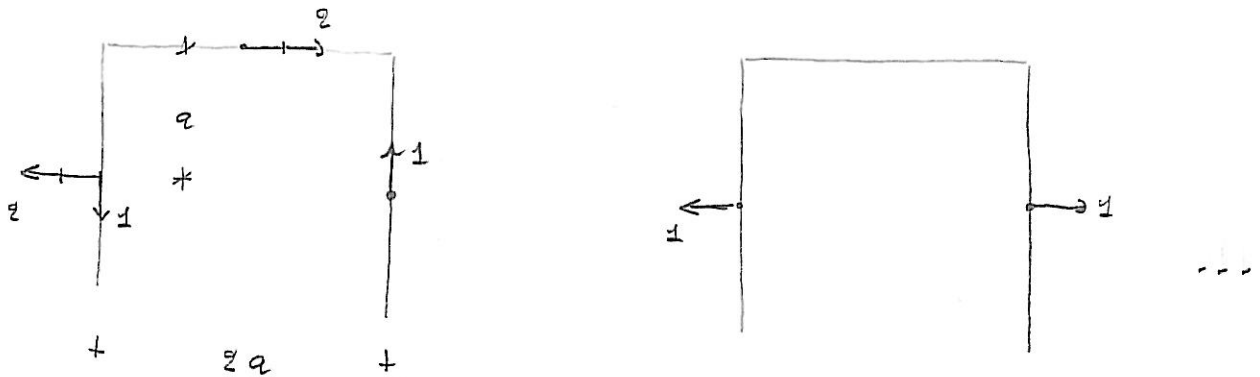
2) Esistenza forze interne: $\in N(G_c)$; $\dim N(G_c) = 3$

Base del $N(G_c)$ è dato da:

7.

$$\text{span} \left(\begin{bmatrix} -2 \\ -1 \\ 2 \\ 0 \\ 0 \\ 1 \end{bmatrix}, \begin{bmatrix} -1 \\ 0 \\ 0 \\ 0 \\ 1 \\ 0 \end{bmatrix}, \begin{bmatrix} -1 \\ -1 \\ 1 \\ 1 \\ 0 \\ 0 \end{bmatrix} \right)$$

ovvero per la prima, seconda etc...



forze interne nel corpo dell'oggetto

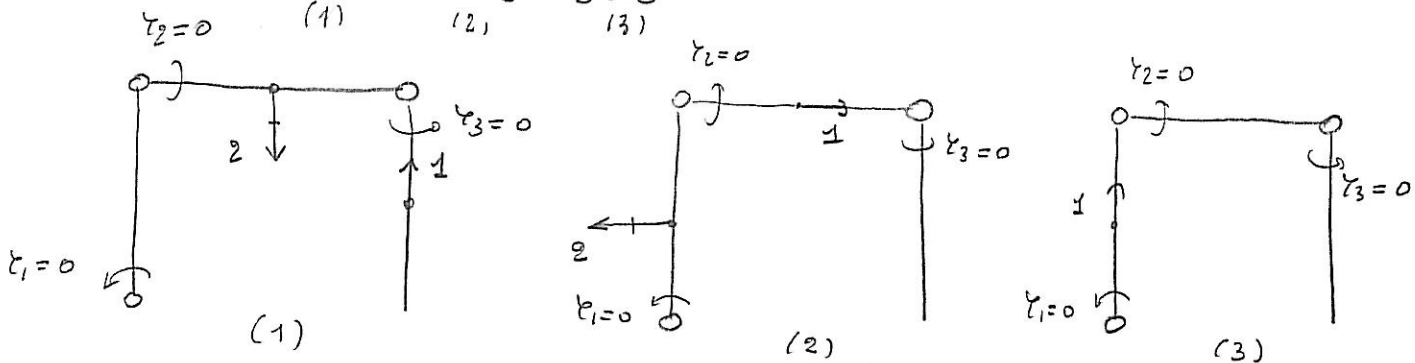
3) Difettività: è difettivo poiché no. righe di Y_c è maggiore rank(Y_c)

dunque esistono forze strutturali.

Queste stanno nel $N(Y_c^T)$

Base del $N(Y_c^T)$ è data da:

$$\text{span} \left(\begin{bmatrix} 0 \\ 0 \\ 0 \\ -2 \\ 0 \\ 1 \end{bmatrix}, \begin{bmatrix} -2 \\ 0 \\ 1 \\ 0 \\ 0 \\ 0 \end{bmatrix}, \begin{bmatrix} 0 \\ 1 \\ 0 \\ 0 \\ 0 \\ 0 \end{bmatrix} \right)$$



Nessuna di queste richiede coppia ai giunti per essere equilibrate

4) Iperstaticità: si ha se $N(A^T) \neq 0$ ossia se

8.

$N(G_c) \cap N(Y_c^T) \neq 0$ ovvero esistono

forze strutturali interne

$$A^T = \begin{bmatrix} Y_c^T \\ G_c \end{bmatrix}$$

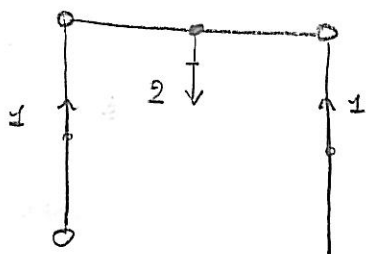
base del $N(A^T)$ è data da:

$$\text{span} \left(\begin{bmatrix} 0 \\ 1 \\ 0 \\ -2 \\ 0 \\ 1 \end{bmatrix} \right)$$

e rappresentano forze interne all'oggetto che

non possono essere

controllate dai giunti.



5) Labilità oggetto: essendo G_c rango pieno si ha

dim $(N(G_c^T)) = 0$, dunque

non esiste labilità oggetto.